

# Rotor 51A

- [Français](#)
- [English](#)

Downloadable models

×

**Open access**

[Git project](#)

## About

Rotor 51A is part of a research program designed to obtain experimental reference information for the selection of fans for propulsion systems for short-haul aircraft using the externally blown flap as the powered lift system. The rotor 51A is made of 12 blades and was designed for a tip-speed of 243.8 meters per second, a design efficiency of 0.863 and a pressure ratio of 1.15. However, experimental values are lower than expected design values (design efficiency: 0.836, pressure ratio: 1.111). The lower than design total pressure ratio was attributed to the failure to obtain the design energy input into the rotor.

- Original NASA technical report <sup>[1]</sup>:

```
@TechReport{osborn1974performance,  
  author      = {Osborn, Walter Martin and Steinke, Ronald J},  
  date        = {1974},  
  institution = {NASA Lewis Research Center Cleveland, OH, United  
States},  
  title       = {Performance of a 1.15-pressure-ratio Axial-flow Fan  
Stage with a Blade Tip Solidity of 0.5},  
  number      = {NASA-TM X-3052},  
  url         = {https://ntrs.nasa.gov/citations/19740021256},  
}
```

- Pictures :



Fig. 1 <https://ntrs.nasa.gov/citations/19740021256> p.67

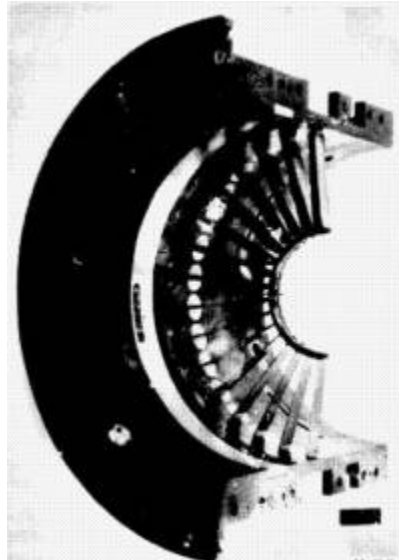


Fig. 2 <https://ntrs.nasa.gov/citations/19740021256> p.67

### Useful documents

- [downloadable models](#) (Git project)
  - NASA technical report (.pdf)
  - rotor51a\_original.csv (.csv), usable as input of OpenMCAD<sup>[2]</sup> to generate reference blade models.

## Reference blade

The **reference blade** is defined with multiple-circular arc profiles<sup>[3]</sup> given in the original NASA report<sup>[1]</sup>. Corresponding models are computed with the open-source code OpenMCAD<sup>[2]</sup>.

## Geometry

The geometry of rotor 51A is described in the [original NASA report](#) by the following table. The lengths are in inches and the angles in degrees.

TABLE IV. - BLADE GEOMETRY FOR ROTOR 51A

RD	PERCENT RADII		BLADE ANGLES			DELTA INC	CONE ANGLE
	SPAN	R1	R2	KTC	KTT		
1.00	25.411	25.411	52.15	47.66	43.1	4.59	0.057
1.50	25.626	25.626	51.23	46.66	42.19	4.63	-0.130
2.00	25.841	25.841	50.30	45.66	41.27	4.66	0.057
2.50	26.056	26.056	49.36	44.66	40.36	4.69	0.268
3.00	26.271	26.271	48.43	43.66	39.43	4.72	0.997
3.50	26.486	26.486	47.49	42.66	38.50	4.75	1.605
4.00	26.701	26.701	46.56	41.66	37.57	4.78	2.092
4.50	26.916	26.916	45.62	40.66	36.64	4.81	1.619
5.00	27.131	27.131	44.69	39.66	35.71	4.84	1.274
5.50	27.346	27.346	43.75	38.66	34.78	4.87	0.654
6.00	27.561	27.561	42.82	37.66	33.85	4.90	0.057

RD	BLADE THICKNESSES			AXIAL DIMENSIONS		
	T1	T2	T3	Z1	Z2	Z3
1.00	0.000	0.000	0.000	0.000	0.000	0.000
1.50	0.000	0.000	0.000	0.000	0.000	0.000
2.00	0.000	0.000	0.000	0.000	0.000	0.000
2.50	0.000	0.000	0.000	0.000	0.000	0.000
3.00	0.000	0.000	0.000	0.000	0.000	0.000
3.50	0.000	0.000	0.000	0.000	0.000	0.000
4.00	0.000	0.000	0.000	0.000	0.000	0.000
4.50	0.000	0.000	0.000	0.000	0.000	0.000
5.00	0.000	0.000	0.000	0.000	0.000	0.000
5.50	0.000	0.000	0.000	0.000	0.000	0.000
6.00	0.000	0.000	0.000	0.000	0.000	0.000

## Aerodynamic design

	units	values
pressure ratio	[-]	1.111
mass flow	[kg/s]	30.27
tip speed	[m/s]	213,3
tip solidity	[-]	0.5
aspect ratio	[-]	3.08
rotative speed	[%]	90 to 120 % of design speed

## Material properties

The material of rotor 51A is not defined in the original NASA report. A generic titanium Ti-6Al-4V is considered:

	units	values
alloy	[-]	Ti-6Al-4V
Young's modulus	[GPa]	108
density	[kg/m3]	4400

	<b>units</b>	<b>values</b>
<b>Poisson's ratio</b>	[-]	0.34
<b>yield stress</b>	[GPa]	0.824

## CAD model

The CAD model is computed with the open source code OpenMCAD<sup>[2]</sup>.



pressure side



suction side

## Natural frequencies

First three natural frequencies (with clamped root) for the mesh computed with OpenMCAD<sup>[2]</sup>:

<b>Mode</b>	<b>Type</b>	<b>Natural angular frequency (rad/sec)</b>	<b>Natural frequency (Hz)</b>
1	1B	2578.588	410.395
2	2B	8044.80	1280.37
3	1T	10763.98	1713.14

## Initial blade

The **initial blade** is defined with in-house LAVA parameters<sup>[4]</sup> computed from the reference blade CAD model. The initial blade is usually used as starting point for an optimization process. Its geometry is similar to the one of the reference blade.

## Natural frequencies

First three natural frequencies (with clamped root)

- from the whole mesh:

Mode	Type	Natural angular frequency (rad/sec)	Natural frequency (Hz)
1	1B	2560.66	407.541
2	2B	8009.99	1 274.83
3	1T	10726.52	1 707.18

- from the reduced order model:

Mode	Type	Natural angular frequency (rad/sec)	Natural frequency (Hz)
1	1B	2560.75	407.556
2	2B	8013.95	1275.46
3	1T	10729.8	1707.7

Modèles téléchargeables

×

**Libre accès**

[lien vers le projet Git](#)

## À propos

Le rotor 51A fait partie d'un programme de recherche visant à obtenir des résultats expérimentaux de référence pour la sélection de soufflantes pour les avions court-courrier utilisant des volets à soufflage externe. Le rotor 51A possède 12 pales et a été conçu pour une vitesse de pointe de 243,8 mètres par seconde, un rendement de 0,863 et un taux de compression de 1,151 à vitesse nominale. Toutefois, les caractéristiques expérimentales effectivement mesurées sont inférieures (rendement de 0,836 et taux de compression de 1,111), en raison de l'impossibilité d'obtenir un apport d'énergie suffisant en entrée du rotor.

- Rapport technique original <sup>[1]</sup>:

```
@TechReport{osborn1974performance,
  author      = {Osborn, Walter Martin and Steinke, Ronald J},
  date       = {1974},
  institution = {NASA Lewis Research Center Cleveland, OH, United
```

```
States},  
  title      = {Performance of a 1.15-pressure-ratio Axial-flow Fan  
Stage with a Blade Tip Solidity of 0.5},  
  number     = {NASA-TM X-3052},  
  url        = {https://ntrs.nasa.gov/citations/19740021256},  
}
```

• Photographies :

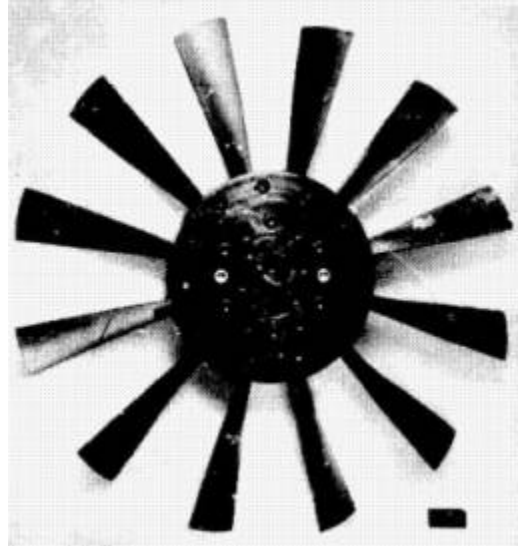


Fig. 1 <https://ntrs.nasa.gov/citations/19740021256> p.67

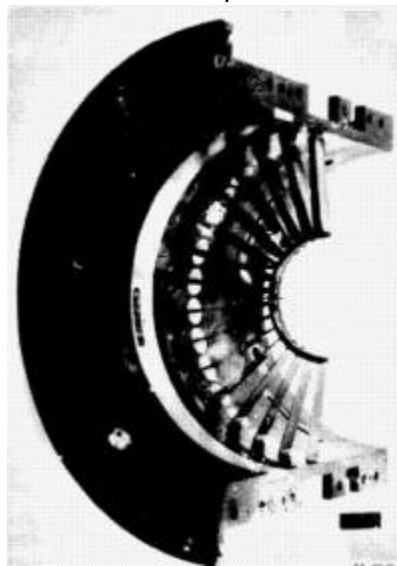


Fig. 2 <https://ntrs.nasa.gov/citations/19740021256> p.67

### Documents utiles

- [modèles téléchargeables](#) (lien vers projet Git)
  - rapport technique original de la NASA (.pdf)
  - rotor51a\_original.csv

(.csv), utilisable en entrée de OpenMCAD<sup>[2]</sup> pour générer l'aube de référence

## Aube de référence

L'**aube de référence** est définie par des profils de type arcs circulaires multiples<sup>[3]</sup>, donnés dans le rapport technique original de la NASA<sup>[1]</sup>. Les modèles associés sont obtenus avec le code en libre accès OpenMCAD<sup>[2]</sup>.

## Géométrie

La géométrie du rotor 51A est décrite dans le rapport d'origine de la NASA par les tableaux suivants. Les grandeurs sont en pouces et en degrés.

TABLE IV. - BLADE GEOMETRY FOR ROTOR 51A

RD	PERCENT SPAN		RADIUS		BLADE ANGLES			DELTA INC	CONE ANGLE
	SPAN	R1	R2	K1C	K1'	K2C			
10	10	25.411	25.411	52.15	47.66	43.1	4.59	0.057	
20	20	24.646	24.646	51.23	46.66	42.16	4.69	-0.138	
30	30	23.673	23.673	50.26	45.66	41.52	4.96	0.257	
40	40	22.495	22.495	49.16	44.66	39.86	5.43	0.258	
50	50	21.124	21.124	48.03	43.66	38.43	6.12	0.997	
60	60	19.573	19.573	46.84	42.66	37.26	7.19	1.815	
70	70	17.845	17.845	45.62	41.66	36.26	8.64	2.692	
80	80	15.945	15.945	44.37	40.66	35.43	10.45	3.619	
90	90	13.879	13.879	43.09	39.66	34.86	12.69	4.614	
100	100	11.653	11.653	41.78	38.66	34.43	15.39	5.674	
110	110	9.267	9.267	40.42	37.66	34.1	18.66	6.817	

RD	BLADE THICKNESSES			AXIAL DIMENSIONS		
	T1	T2	T3	Z1	Z2	Z3
10	0.000	0.000	0.000	0.000	0.000	0.000
20	0.000	0.000	0.000	0.000	0.000	0.000
30	0.000	0.000	0.000	0.000	0.000	0.000
40	0.000	0.000	0.000	0.000	0.000	0.000
50	0.000	0.000	0.000	0.000	0.000	0.000
60	0.000	0.000	0.000	0.000	0.000	0.000
70	0.000	0.000	0.000	0.000	0.000	0.000
80	0.000	0.000	0.000	0.000	0.000	0.000
90	0.000	0.000	0.000	0.000	0.000	0.000
100	0.000	0.000	0.000	0.000	0.000	0.000
110	0.000	0.000	0.000	0.000	0.000	0.000

## Caractéristiques aérodynamiques

	unités	valeurs
taux de compression	[-]	1.111
débit massique	[kg/s]	30.27
vitesse en tête	[m/s]	213,3
solidité en tête	[-]	0.5
allongement	[-]	3.08
vitesse de rotation	[%]	90 à 120 % de la vitesse de conception

## Propriétés matériau

Le matériau original du rotor 51A n'est pas défini dans le rapport de la NASA. Un alliage de titane Ti-6Al-4v est considéré :

	unités	valeurs
<b>alliage</b>	[-]	Ti-6Al-4V
<b>module d'Young</b>	[GPa]	108
<b>masse volumique</b>	[kg/m <sup>3</sup> ]	4400
<b>coefficient de Poisson</b>	[-]	0,34
<b>limite élastique</b>	[GPa]	0,824

## Modèle CAO

Le modèle CAO est obtenu avec OpenMCAD<sup>[2]</sup>.

intrados



extrados



## Fréquences propres

Fréquences des trois premiers modes (noeuds du pied d'aube encastres) pour le maillage obtenu avec OpenMCAD<sup>[2]</sup> :

Mode	Type	Pulsation propre (rad/sec)	Fréquence propre (Hz)
1	1F	2578,59	410,40
2	2F	8044,80	1280,37
3	1T	10763,98	1713,14

## Aube initiale

L'**aube initiale** est définie par des paramètres spécifiques au LAVA<sup>[4]</sup> obtenus à partir du modèle CAO de l'aube de référence. L'aube initiale est classiquement utilisée comme point de départ dans le cadre de procédures d'optimisation; sa géométrie est similaire à celle de l'aube de référence.

## Fréquences propres

Fréquences des trois premiers modes (noeuds du pied d'aube encastres),

- pour le maillage complet :

Mode	Type	Pulsation propre (rad/sec)	Fréquence propre (Hz)
1	1F	2560,66	407,541
2	2F	8009,99	1 274,83
3	1T	10726,52	1 707,18

- pour le modèle réduit :

Mode	Type	Pulsation propre (rad/sec)	Fréquence propre (Hz)
1	1F	2560,75	407,556
2	2F	8013,95	1275,46
3	1T	10729,8	1707,7

1. <sup>a, b, c, d</sup> Osborn W. M., Steinke R. «Performance of a 1.15-pressure-ratio Axial-flow Fan Stage with a Blade Tip Solidity of 0.5» 1974. [pdf](#)
2. <sup>a, b, c, d, e, f, g, h</sup> Kojtych S., Batailly A. «OpenMCAD, an open blade generator: from Multiple-Circular-Arc profiles to Computer-Aided Design model» 2022. [open source code](#)
3. <sup>a, b</sup> Crouse *et al.* «A computer program for composing compressor blading from simulated circular-arc elements on conical surfaces » 1969. NASA-TN-D-5437. [pdf](#)
4. <sup>a, b</sup> Kojtych S. *et al.* «Methodology for the Redesign of Compressor Blades Undergoing Nonlinear Structural Interactions: Application to Blade-Tip/Casing Contacts » 2022. Journal of Engineering for Gas Turbines and Power, Vol. 145, No. 5. [pdf](#)

Document issu de la page wiki:

[https://wiki.lava.polymtl.ca/public/modeles/rotor\\_51a/accueil?rev=1723064423](https://wiki.lava.polymtl.ca/public/modeles/rotor_51a/accueil?rev=1723064423)

Dernière mise à jour: **2024/08/07 17:00**